

T. 1 - CUANTIZACIÓN DEL CAMPO ELECTROMAGNÉTICO

$\Delta E \Delta B \geq \hbar$ → \exists campo vacío, ruido

$$\begin{cases} \vec{\nabla} \cdot \vec{E} = 0 & \vec{\nabla} \times \vec{E} = -\frac{\partial \vec{B}}{\partial t} \\ \vec{\nabla} \cdot \vec{B} = 0 & \vec{\nabla} \times \vec{B} = \frac{1}{c^2} \frac{\partial \vec{E}}{\partial t} \end{cases}$$

Ecs. de Maxwell vacío

$\vec{E}, \vec{B} \perp \vec{k}$ (campos transversales)

→ invariancia, simetrías, leyes de conservación

$$H = \frac{\epsilon_0}{2} \int d^3r [\vec{E}^2 + c^2 \vec{B}^2]$$

$$\vec{P} = \epsilon_0 \int d^3r \vec{E} \times \vec{B}$$

$$\vec{J} = \epsilon_0 \int d^3r \vec{r} \times [\vec{E} \times \vec{B}]$$

$$\vec{E}(\vec{r}, t) = \int d^3k e^{i\vec{k} \cdot \vec{r}} \vec{E}(\vec{k}, t) \quad ; \quad \vec{E}(\vec{k}, t) = \frac{1}{(2\pi)^3} \int d^3r \vec{E}(\vec{r}, t) e^{-i\vec{k} \cdot \vec{r}}$$

$$\vec{E}(-\vec{k}, t) = \vec{E}^*(\vec{k}, t) \quad (\text{hermítico})$$

$$\begin{aligned} i\vec{k} \cdot \vec{E}(\vec{k}, t) &= 0 & i\vec{k} \times \vec{E}(\vec{k}, t) &= -\frac{\partial \vec{B}}{\partial t} \\ i\vec{k} \cdot \vec{B}(\vec{k}, t) &= 0 & i\vec{k} \times \vec{B}(\vec{k}, t) &= \frac{1}{c^2} \frac{\partial \vec{E}}{\partial t} \end{aligned}$$

Ecs. de Maxwell en espacio recíproco

→ Transversalidad: $\vec{B} = i\frac{\vec{k}}{\omega^2} \times \vec{E}$

$$\vec{a} \equiv \frac{1}{2iN(k)} [\vec{E}(\vec{k}, t) + \frac{i}{\omega} \frac{\partial \vec{E}(\vec{k}, t)}{\partial t}]$$

$$\vec{E}(\vec{k}, t) = iN(k) \cdot [\vec{a}(\vec{k}, t) - \vec{a}^*(-\vec{k}, t)]$$

$$\frac{\partial \vec{E}(\vec{k}, t)}{\partial t} = \omega N(k) \cdot [\vec{a}(\vec{k}, t) + \vec{a}^*(-\vec{k}, t)]$$

$$\begin{aligned} \dot{\vec{a}}(\vec{k}, t) &= -i\omega \vec{a}(\vec{k}, t) & \dot{\vec{a}}^*(\vec{k}, t) &= -i\omega \vec{a}^*(\vec{k}, t) \\ \vec{a}(\vec{k}, t) &= \sum_{\alpha} a_{\alpha}(\vec{k}, t) \hat{e}_{\alpha}(\vec{k}) \end{aligned}$$

Receta de cuantización → $a_{\alpha} \rightarrow a_{\alpha\sigma}$; $a_{\alpha}^* \rightarrow a_{\alpha\sigma}^*$... $|d|^2 = \frac{d_{\alpha\sigma}^* + d_{\alpha\sigma}}{2}$

$$H = \int d^3k \sum_{\alpha} \left[a_{\alpha}^{\dagger}(\vec{k}, t) a_{\alpha}(\vec{k}, t) + \frac{1}{2} \right] \hbar \omega$$

$$\vec{P} = \int d^3k \sum_{\alpha} \hbar \vec{k} \left[a_{\alpha}^{\dagger}(\vec{k}, t) a_{\alpha}(\vec{k}, t) + \frac{1}{2} \right]$$

$$\vec{J} = \hbar \int d^3k \sum_{\alpha} \left[a_{\alpha}^{\dagger}(\vec{k}, t) (-i\vec{k} \times \vec{e}_{\alpha}(\vec{k})) a_{\alpha}(\vec{k}, t) - i \vec{a}^*(\vec{k}, t) \times \vec{a}(\vec{k}, t) \right]$$

onde plano no transporta L pero sí $\vec{S} = \pm \hbar |a|^2 \hat{k}$ } espín 1
 con línea promedio = 0 } masa 0
 } energía $\hbar \omega$
 } bosón } fotón

Cuantizado en un cubo L^3

CONTINUO

$\vec{k}, a_{\alpha}(\vec{k})$... \hbar dimensiones $\frac{1}{k^3}$ volumen

$$[a_{\alpha}(\vec{k}), a_{\alpha'}^{\dagger}(\vec{k}')] = \delta(\vec{k} - \vec{k}') \delta_{\alpha\alpha'}$$

$$\left(\frac{2\pi}{L}\right)^{3/2} a_{\alpha}(\vec{k}_i)$$

DISCRETO

$$\vec{k}_{n_x, n_y, n_z} = \frac{2\pi}{L} (n_x, n_y, n_z), \quad a_{\alpha}(\vec{k}_i)$$

$$[a_i, a_j^{\dagger}] = \delta_{ij}$$

$$H = \sum_i \hbar \omega_i \left(a_i^{\dagger} a_i + \frac{1}{2} \right)$$

$$\vec{E} = i \sum_j \epsilon_j \left(a_j \hat{e}_j e^{i\vec{k}_j \cdot \vec{r}} - a_j^{\dagger} \hat{e}_j^* e^{-i\vec{k}_j \cdot \vec{r}} \right) \quad ; \quad \epsilon_j = \sqrt{\frac{\hbar \omega_j}{2\epsilon_0 L^3}}$$

Cada modo → 1 oscilador

$$H = \hbar \omega \left(N + \frac{1}{2} \right) \rightarrow N |n\rangle = n |n\rangle \rightarrow \text{estados número o de Fock}$$

$$a |n\rangle = \sqrt{n} |n-1\rangle; [N, a] = -a; N^k a = a (N-1)^k; f(N) a = a f(N-1)$$

$$a^{\dagger} |n\rangle = \sqrt{n+1} |n+1\rangle; f(N) a^{\dagger} = a^{\dagger} f(N+1)$$

$$|n\rangle = \frac{(a^{\dagger})^n}{\sqrt{n!}} |0\rangle \rightarrow |0\rangle \equiv \text{vacío}$$

Un modo: $\vec{E}(\vec{r}) = i\epsilon(\hat{e}_\alpha \hat{a} e^{i\vec{k}\cdot\vec{r}} - \hat{e}_\alpha^* \hat{a}^\dagger e^{-i\vec{k}\cdot\vec{r}})$, $\epsilon = \sqrt{\frac{\hbar\omega}{2\epsilon_0 L^3}}$

$|\psi(t)\rangle = e^{-iHt} |\psi(0)\rangle$

Si $|\psi(0)\rangle = |n\rangle \rightarrow |\psi(t)\rangle = e^{-i\omega(n+\frac{1}{2})t} |n\rangle$, $H|\psi(t)\rangle = \hbar\omega(n+\frac{1}{2})|\psi(t)\rangle$

$|n\rangle$ no es propio de \vec{E}

$\langle \vec{E} \rangle_n = 0$

$\langle E^2 \rangle_n = \frac{\hbar\omega}{\epsilon_0 L^3} (n + \frac{1}{2})$

$\Delta E \propto \sqrt{n + \frac{1}{2}}$ campo de vacío fluctuante

$(\Delta E)_{|0\rangle} = \hbar\omega \epsilon = c(\Delta B)_{|0\rangle} \rightarrow$ fluctuaciones de vacío

- fotón \rightarrow cuanto de excitación de un modo del campo EM \neq estado campo
- \rightarrow no localizable $\Delta x \rightarrow 0$ \times q \neq modo puntual
 - \rightarrow H, p, L definidos (prop. mecánicas) pero no ΔE (condulativas), fase, intensidad
 - \rightarrow láser: sale c. lin. fotones, paquete energía, ondul \checkmark , mecán \times
 - \rightarrow estados de Fock: exóticos, se destruyen

$E = E_0 \cos(\omega t + \psi) \dots \rightarrow P(\psi) \rightarrow$ fase aleatoria

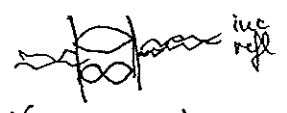
$\langle E \rangle = 0$

$\langle E^2 \rangle = \frac{E_0^2}{2}$

$E_{\text{onda}} \sim \frac{\epsilon_0}{2} E_0^2 \rightarrow E_0^2 \sim \frac{2(n + \frac{1}{2}) \hbar\omega}{\epsilon_0 L^3}$

Efecto Casimir

- placas neutras en el vacío



- estacionarios se cancelan \rightarrow presión z_p externa \rightarrow placas se acercan

$\frac{E_{\text{vac}}}{L^3} = \sum \frac{1}{(2\pi)^3} \cdot \frac{(2\pi)^3}{L^3} \hbar\omega c \rightarrow \int \frac{1}{(2\pi)^3} d^3k \hbar\omega = \frac{\hbar \omega_{\text{max}}^4}{8\pi^2 c^3} \int_0^{\omega_{\text{max}}} \omega^3 d\omega$

$\rho(\omega) = \frac{\hbar\omega^3}{2\pi^2 c^3} \rightarrow$ Densidad espectral de energía (finita!)
 \propto tasa emisión espontánea $\propto \omega_{12}^3 \triangleq$ emisión estimulada \times excitos/fluctuaciones de vacío



$\frac{F}{L^2} = - \frac{\pi^2 \hbar c}{240 d^4}$

$U(d) = - \left(\frac{\pi^2 \hbar c}{720 d^3} \right) \cdot L^2$

Im. de Heisenberg

$|\psi, t\rangle_H = |\psi, 0\rangle_S = U^{\dagger}(t) |\psi, 0\rangle_S = U^{\dagger}(t) U |\psi, 0\rangle_S$

$O_H = U O_S U^{\dagger}$

$i\hbar \dot{O}_H = [O_H, H]$ si O_S era cte(t)

$\hookrightarrow \dot{a} = -i\omega a$

$e^{\hat{A} + \hat{B}} = e^{\hat{A}} e^{\hat{B}} e^{-\frac{1}{2}[\hat{A}, \hat{B}]}$ si $[A, [A, B]] = 0$
 $[B, [A, B]] = 0$

$e^{\lambda \hat{A}} B e^{-\lambda \hat{A}} = B + \lambda [A, B] + \frac{\lambda^2}{2!} [A, [A, B]] + \dots$

$\bar{H} = i\hbar \dot{U} U^{-1} + U H U^{-1}$

T.2 - ESTADOS COHERENTES

\hat{E} → observable, operador autoadjunto

Estados cuasiclásicos: $|\alpha\rangle$

$$\begin{aligned} \langle \hat{E} \rangle_\alpha &= \langle \hat{E} \rangle_{cl} \rightarrow \langle \hat{a} \rangle_\alpha = \alpha, \quad \langle \hat{a}^\dagger \rangle_\alpha = \alpha^* \\ \langle \hat{N} \rangle_\alpha &= \langle \hat{N} \rangle_{cl} \rightarrow \langle \hat{a}^\dagger \hat{a} \rangle_\alpha = |\alpha|^2 \end{aligned} \quad \left. \begin{aligned} \hat{D} = \hat{a} - \alpha \rightarrow a|\alpha\rangle = \alpha|\alpha\rangle \\ \langle \alpha|\alpha^\dagger = \langle \alpha|\alpha^* \end{aligned} \right\}$$

Estados coherentes propios de \hat{a}

$$|\alpha\rangle = e^{-\frac{|\alpha|^2}{2}} \sum_{n=0}^{\infty} \frac{\alpha^n}{\sqrt{n!}} |n\rangle, \quad \alpha \in \mathbb{C}$$

estado $n=0$ → E definida, fase mal

" coherente → fase bien a esta de n , E mal → pierden propiedades corpusculares

Operador desplazamiento de Glauber

$$\hat{D}(\alpha)|0\rangle = |\alpha\rangle$$

$$\hat{D}(\alpha) = e^{\alpha \hat{a}^\dagger - \alpha^* \hat{a}} \hat{=} e^{-\frac{i}{\hbar} \hat{H}_0 t}; \quad \hat{H}_0 = -\frac{i\hbar}{t} (\alpha \hat{a}^\dagger - \alpha^* \hat{a}) \rightarrow \text{operadores del campo, no de la materia}$$

ω → generado por materia clásica → radiación dipolar interacción con campo cuántico

Polariza clásica: $\vec{P}(\vec{r}, t) = \vec{e}_p e^{i(\vec{k} \cdot \vec{r} - \omega t)} + \vec{e}_p^* p^* e^{-i(\vec{k} \cdot \vec{r} - \omega t)}$

$$\hat{H} = \hbar \omega \hat{a}^\dagger \hat{a} + i\hbar (\beta \hat{a}^\dagger e^{-i\omega t} - \beta^* \hat{a} e^{i\omega t}); \quad \beta = \frac{\epsilon L^3 p}{\hbar}$$

$$|\bar{\psi}\rangle = U|\psi\rangle$$

$$\hat{H} = U \hat{H}_0 U^{-1} + i\hbar \dot{U} U^{-1}$$

Imagin de Heisenberg: $U = e^{+i\hat{H}t/\hbar} \rightarrow \hat{H} = 0$ (estados no evolucionan)

Imagin de Dirac: $U = e^{i\hat{H}_0 t/\hbar} \rightarrow \hat{H} = U \hat{H}_{int} U^{-1}$ ($H = H_0 + H_{int}$)

$$\Rightarrow H_0 = \hbar \omega \hat{a}^\dagger \hat{a} \rightarrow \hat{H}_{int} = i\hbar (\beta \hat{a}^\dagger - \beta^* \hat{a})$$

$$|\bar{\psi}(t)\rangle = \exp(\beta t \hat{a}^\dagger - \beta^* t \hat{a}) |\bar{\psi}(0)\rangle \hat{=} \exp(\alpha \hat{a}^\dagger - \alpha^* \hat{a}) |\bar{\psi}(0)\rangle; \quad \alpha \equiv \beta t = \frac{\epsilon L^3 p t}{\hbar}$$

PROPIEDADES: estados coherentes generados por una fuente clásica

$$\bullet \bar{n} = |\alpha|^2 = \langle \hat{N} \rangle_\alpha = \sum_n n P(n)$$

$$\bullet \overline{n^2} = |\alpha|^4 + |\alpha|^2 = \sum_n n^2 P(n)$$

$$\bullet V(\hat{N}) = |\alpha|^2 \rightarrow \Delta \hat{N} = |\alpha|$$

$\bullet \frac{\Delta \hat{N}}{\bar{n}} = \frac{1}{|\alpha|} \xrightarrow{|\alpha| \rightarrow \infty} 0$ → fluctuads de origen cuántico, cuando $\alpha \rightarrow \infty \Rightarrow$ campo clásico
E alto, fluctuads despreciables en la caja

$$\bullet P(n) = e^{-|\alpha|^2} \frac{|\alpha|^{2n}}{n!} = |\langle \hat{a}^n \alpha \rangle|^2 = \frac{e^{-\bar{n}} \bar{n}^n}{n!} \Rightarrow \text{Distribución de Poisson}$$

$$\blacktriangle \langle \hat{E} \rangle_\alpha = -2\epsilon |\alpha| \sin(\vec{k} \cdot \vec{r} - \omega t + \theta)$$

$$\blacktriangle \langle \hat{E}^2 \rangle_\alpha = \epsilon^2 [1 + 4|\alpha|^2 \sin^2(\vec{k} \cdot \vec{r} - \omega t + \theta)]$$

$$\blacktriangle (\Delta \hat{E})_\alpha = \epsilon = (\Delta \hat{E})_{n=0} = \text{cte} \rightarrow \text{siempre } \exists \text{ indeterminada de fondo}$$

$$\blacktriangle \frac{\Delta \hat{E}}{\bar{E}} \propto \frac{1}{|\alpha|} \rightarrow 0 \text{ si } |\alpha| \text{ grande (indeterminada relativa } \rightarrow 0 \hat{=} \text{ límite clásico)}$$

$\blacktriangle |0\rangle$ es estado $n=0$ y coherente a la vez; $|n\rangle$ ya no coherente si $n \geq 1$

\blacktriangle Estado coherente $\hat{=} \text{onda clásica} + \text{fluctuads del vacío cuántico } (n=0)$

$$1 \blacksquare |\alpha\rangle \text{ no ortogonales } \rightarrow \langle \alpha | \beta \rangle = e^{-|\alpha - \beta|^2/2} \neq 0$$

2 $\blacksquare \{|\alpha\rangle\}^\infty$ es linealmente dependiente, pero cualquier conjunto finito es lin. independiente

3 $\blacksquare \{|\alpha\rangle\}_2$ es un conjunto completo (base sobrecompleta)

$$4 \blacksquare \mathbb{I} = \frac{1}{\pi} \int d^2\alpha |\alpha\rangle \langle \alpha|$$

Representaciones coherentes del operador densidad

$|\psi\rangle = \sum_n c_n |n\rangle$ Estado puro \rightarrow estado aislado \neq mezcla

$\hat{\rho} = |\psi\rangle\langle\psi| \equiv$ Operador densidad (von Neumann) \rightarrow Caracteriza estado, no un observable

$$= \sum_{n,m} \rho_{nm} |n\rangle\langle m|$$

$\rho_{nm} = \langle n | \hat{\rho} | m \rangle \equiv$ coherencias $= |c_n| \cdot |c_m| \cdot e^{i(\varphi_m - \varphi_n)} \rightarrow$ dependen de la dif. de fases entre estados

$$\rho_{nn} = \langle n | \hat{\rho} | n \rangle = |c_n|^2 \equiv$$
 poblacs

A térmico $\langle \Delta \varphi \rangle = 0$, de coherencia \rightarrow sólo importa ρ_{nn}
interfer Es, cuántica \rightarrow coheres ρ_{nm}

$$\text{Tr}(\rho) = 1$$

Estados puros $\rightarrow \hat{\rho}^2 = \hat{\rho}, \text{Tr}(\hat{\rho}^2) = 1$

$$\frac{d\hat{\rho}}{dt} = -\frac{i}{\hbar} [\hat{H}, \hat{\rho}]$$

Estados mezcla

$\hat{\rho} = \sum_{\psi} p_{\psi} |\psi\rangle\langle\psi|$; $\sum_{\psi} p_{\psi} = 1 \rightarrow$ promedio estadístico de matrices densid de estados puros \times no necesariamente ortogonales

$$\hat{\rho} = \hat{\rho}^\dagger$$

$$|\psi\rangle = \sum_n c_n \psi |n\rangle ; \sum |c_n \psi|^2 = 1 ; \langle \psi | \psi \rangle = 1$$

$$\hat{\rho} = \sum_{\psi} \sum_n p_{\psi} (c_n \psi) (c_m \psi)^* |n\rangle\langle m|$$

$$\text{Tr}(\hat{\rho}) = 1$$

$$\rho_{nn} = \sum_{\psi} p_{\psi} |c_n \psi|^2$$

$$\rho_{nm} = \sum_{\psi} p_{\psi} c_n \psi (c_m \psi)^* \} \rho_{nn} \rho_{mm} \neq |\rho_{nm}|^2$$

Valor esperado

$$\langle \hat{A} \rangle_{\rho} = \text{Tr}(\rho \hat{A}) = \sum_{\psi} p_{\psi} \langle \hat{A} \rangle_{\psi}$$

$$\langle \hat{A} \rangle = \text{Tr}(\hat{\rho} \hat{A} \hat{A}) ; \hat{\rho} \hat{A} = \text{Tr}_B(\hat{\rho}) = \sum_{n_0} \langle n_0 | \hat{\rho} | n_0 \rangle$$

stua. bipartito

$$\hat{\rho} \hat{A} = \sum_{n_0} \langle n_0 | \hat{\rho} | n_0 \rangle \langle \hat{A} | n_0 \rangle = \sum_{n_0} p_{n_0} |\psi^{n_0}\rangle \langle \psi^{n_0}| \rightarrow |\psi^{n_0}\rangle = \frac{\langle n_0 | \hat{\rho} | n_0 \rangle}{\sqrt{p_{n_0}}}$$

$$\hat{\rho} = \mathbb{I} \rho \mathbb{I} = \frac{1}{\pi^2} \int d^2\alpha \int d^2\beta \mathcal{R}(\alpha^*, \beta) e^{-\frac{1}{2}(|\alpha|^2 + |\beta|^2)} |\alpha\rangle\langle\beta|$$

$$\mathcal{R}(\alpha^*, \beta) = \langle \alpha | \hat{\rho} | \beta \rangle e^{\frac{1}{2}(|\alpha|^2 + |\beta|^2)} = \sum_{n,m} \frac{(\alpha^*)^n \beta^m}{\sqrt{n!m!}} \rho_{nm} \Rightarrow \text{Representa } \mathcal{R}$$

$$\hat{\rho} = \sum_{n,m} |n\rangle\langle m| \rho_{nm}$$

$$= \frac{1}{\pi} \int d^2\alpha P(\alpha) |\alpha\rangle\langle\alpha| \rightarrow$$
 parece diagonal (sólo poblacs) pero no lo es

$\exists P(\alpha)$ para estado coherente $\rightarrow P(\alpha) = \delta^{(2)}(\alpha - \alpha')$ \Rightarrow Representa P (Glauber - Sudarshan)

- $P(\alpha) \in \mathbb{R}, \rho = \rho^\dagger$
- $\text{Tr}(\hat{\rho}) = 1 \rightarrow \int d^2\alpha P(\alpha) = 1$
- Orden normal $\rightarrow \langle (\hat{a}^\dagger)^l (\hat{a})^m \rangle = \frac{1}{\pi} \int d^2\alpha P(\alpha) \text{Tr}[(\hat{a}^\dagger)^l \hat{a}^m | \alpha \rangle \langle \alpha |]$
 \hookrightarrow útil es $= \int d^2\alpha (\alpha^*)^l \alpha^m P(\alpha)$
- distribución de cuasiprobabilidad (singulares, $P(\alpha) < 0, \alpha = \alpha_{re} + i\alpha_{im}$)

$$Q(\alpha) = \frac{1}{\pi} \langle \alpha | \hat{\rho} | \alpha \rangle \rightarrow \text{Representa } Q, \text{ útil en orden anti-normal}$$

$$= \frac{1}{\pi} \mathcal{R}(\alpha^*, \alpha) e^{-|\alpha|^2} = \frac{1}{\pi} \int d^2\beta P(\beta) \cdot e^{-|\alpha - \beta|^2}$$

T. 3 - INTERACCIÓN LUZ - ÁTOMOS

Hamiltoniano dipolar eléctrico \rightarrow aproxima de onda larga (d.e.) $500 \text{ nm} \ll \lambda$

$$\Delta(\vec{r}, t) = A(\vec{r}, t) + (\nabla \cdot \vec{r}) \cdot \vec{A}(\vec{r}, t)$$

$$\vec{A}' = \vec{A} + \nabla \chi ; \chi = -\delta^2 \vec{A}(\vec{r}, t) ; \vec{A}(\vec{r}, t) = 0$$

$$H = \left(\frac{p^2}{2m} + V_{\text{coul}} \right)_{H_0} - \underbrace{\vec{\mu} \cdot \vec{E}(\vec{r}, t)}_{H_{\text{int}}} ; \vec{\mu} = q \cdot \delta \vec{r} \dots \text{operador}$$

Si \vec{E} clásico, H_0 cuántico (átomo) \rightarrow H semiclásico

$$W = q \cdot V(\vec{r}) = q \cdot (V_0) + \left(\frac{\partial V}{\partial x_j} \right) x_j + \frac{1}{2!} \frac{\partial^2 V}{\partial x_j \partial x_k} x_j x_k + \dots \approx q V_0 - \vec{\mu}_j E_j(t) - \frac{1}{2!} \partial_{ij}^2 V E_j^2 + \dots$$

$\hat{H} = \hat{H}_0 + \hat{\mu} \cdot \vec{E}(t) \rightarrow \vec{E}$ clásico, $\vec{r} = 0$, átomo en \hat{H}_0 y $\hat{\mu}$ (Teoría semiclásica)
 situad sencilla $\rightarrow \vec{E}$ monocromático + 1 solo átomo de 2 niveles $\begin{matrix} |a\rangle \text{ } \mu_{ba} \\ |b\rangle \text{ } -\mu_{ab} \end{matrix}$

$$\vec{\mu} = \mu_{0+} |0\rangle \langle 1| + \mu_{10} |1\rangle \langle 0| ; \mu_{10} = \mu_{01} \text{ lo } H_0 |1\rangle = \frac{\hbar \omega_0}{2} \text{ } H_0 |0\rangle = -\frac{\hbar \omega_0}{2}$$

$$|\psi\rangle = c_0(t) |0\rangle + c_1(t) |1\rangle$$

$$i\hbar |\dot{\psi}\rangle = \begin{pmatrix} -\frac{\hbar \omega_0}{2} & -\vec{\mu}_{01} \cdot \vec{E} \\ \vec{\mu}_{10} \cdot \vec{E} & \frac{\hbar \omega_0}{2} \end{pmatrix} |\psi\rangle \rightarrow \mu_{11} = 0 \text{ por parid} ; \psi_2(\vec{r}) = \psi_3(-\vec{r})$$

$$\vec{E}(t) = \frac{1}{2} \vec{e} \cdot \varepsilon \cdot e^{i\omega t} + \text{c.c.} ; \vec{e}, \vec{\mu} \text{ reales} ; \varepsilon \text{ de}$$

$$\Omega \equiv \frac{\vec{\mu}_{01} \cdot \vec{E}}{\hbar} ; \varepsilon \equiv \text{frecue de Rabi}$$

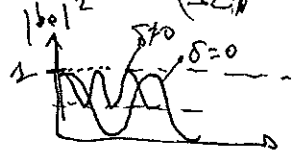
Cambio imagen $\rightarrow \begin{pmatrix} b_0 \\ b_1 \end{pmatrix} = \begin{pmatrix} e^{-i\frac{\omega_0}{2}t} & \\ & e^{i\frac{\omega_0}{2}t} \end{pmatrix} \begin{pmatrix} c_0 \\ c_1 \end{pmatrix}$ o mejor $\begin{pmatrix} e^{i\frac{\omega}{2}t} & \\ & e^{i\frac{\omega}{2}t} \end{pmatrix}$

Rotating Wave Approximation $\rightarrow \omega + \omega_0 \rightarrow$ desprecias

$$\downarrow \begin{pmatrix} \dot{b}_0 \\ \dot{b}_1 \end{pmatrix} = \begin{pmatrix} -i\delta/2 & i\Omega/2 \\ i\Omega/2 & i\delta/2 \end{pmatrix} \begin{pmatrix} b_0 \\ b_1 \end{pmatrix} \quad \delta \equiv \omega - \omega_0 \text{ (desintonía)}, \Omega = |\Omega| e^{i\varphi} \text{ } \rightarrow \exp(\dots) \text{ } \rightarrow 2 \text{ EDOs}$$

$$\downarrow |b_0|^2 = 1 - \left(\frac{\Omega}{\tilde{\Omega}} \right)^2 \sin^2 \left(\frac{\tilde{\Omega}}{2} t \right) ; \tilde{\Omega}^2 = |\Omega|^2 + \delta^2 \equiv \text{frecue generalizada de Rabi}$$

$$|b_1|^2 = \left(\frac{\Omega}{\tilde{\Omega}} \right)^2 \sin^2 \left(\frac{\tilde{\Omega}}{2} t \right)$$



\rightarrow Oscilads de Rabi
 • emisión y absorción estimulada
 • no predice emisión espontánea

Procesos estimulados \rightarrow campo cuántico

$$A_{i \rightarrow j} = \langle j | U | i \rangle \rightarrow P_{i \rightarrow j} = |C_{ij}|^2 \text{ lo } \langle f, n \pm 1 | \hat{\mu} \cdot \vec{E} | a, n \rangle \text{ } \rightarrow \text{cuantizar campo radio, fluctuads}$$

Aproxim de Born: (1er orden)

$$P_{i \rightarrow j}(t, 0) = \frac{|\langle f | H_{\text{int}} | i \rangle|^2}{\hbar^2} \cdot \frac{\sin^2 \frac{\omega_{fi} t}{2}}{\left(\frac{\omega_{fi}}{2} \right)^2} ; \langle f | H_{\text{int}} | i \rangle = -\vec{\mu}_{ba} \cdot \langle n \pm 1 | \vec{E} | n \rangle$$

$$P_{i \rightarrow j} = \frac{W_{ab}^2}{2\epsilon_0 \hbar^2 \omega} |\vec{\mu}_{ab} \cdot \vec{e}_\omega|^2 \cdot \begin{cases} (n+1) \cdot F(t, \omega - \omega_{ab}) \\ n \cdot F(t, \omega_a - \omega) \end{cases} \approx \text{salvo en var } \omega \rightarrow \text{emisión espontánea } \checkmark \text{ } \text{absorción } \checkmark$$

Procesos multifotónicos

$\vec{\mu}$ cambia parid cada vez que actúa \rightarrow pasar con 1, 3, ... fotons
 proceso simultáneos

• Procesos elásticos a $\begin{matrix} \uparrow \downarrow \\ \uparrow \downarrow \end{matrix}$ difusión Rayleigh ($\omega \ll \omega_{ab}$)
 " $\begin{matrix} \uparrow \downarrow \\ \uparrow \downarrow \end{matrix}$ Thompson ($\omega \gg \omega_{ab}$) \rightarrow en rayos x \rightarrow Compton

• Efecto Raman $\begin{matrix} \uparrow \downarrow \\ \uparrow \downarrow \end{matrix}$ tipo Stokes ; $\begin{matrix} \uparrow \downarrow \\ \uparrow \downarrow \end{matrix}$ anti-Stokes (tarde en desexcitarse)

• Procesos inelásticos $\begin{matrix} \uparrow \downarrow \\ \uparrow \downarrow \end{matrix}$ absorbe 2ω , emite $2\omega'$ \rightarrow Hiper-Raman

Emission espontánea, monocromática → excitado

$\omega - \delta$ modo, vacío; 2 niveles $\equiv |g\rangle$
 $|\psi(t=0)\rangle = |e, 0, \dots, 0\rangle$ el estado final
 $\hat{H} = \sum_{k, \sigma} \epsilon_{\sigma} E_{\omega} (a_{k, \sigma} - a_{k, \sigma}^\dagger)$; $E_{\omega} = \sqrt{\frac{\hbar \omega}{2\epsilon_0 L^3}}$

$|\psi(t)\rangle = c_e(t) |e, \{0\}\rangle + \sum_{k, \sigma} \sum_{\sigma'} c_{k, \sigma}(t) |g, \{1, \vec{k}, \sigma\}\rangle$
 $i\hbar \frac{d}{dt} c_e = \langle e, 0 | H | \psi(t) \rangle$

Teoría de Wigner - Weisskopf

$\hat{H} = \sum_{k, \sigma} \hbar \omega_{k, \sigma} a_{k, \sigma}^\dagger a_{k, \sigma} + \hat{H}_{at} \equiv \hat{H}_0 + \hat{H}_{int} \rightarrow \vec{E}(\vec{r}, t)$

$i\hbar \frac{d}{dt} c_e = E_e c_e - i \sum_{k, \sigma} c_{k, \sigma} E_{\omega} (\vec{\mu}_{eg} \cdot \vec{e}_{k, \sigma})$
 $c_e = E_g c_g + i c_e E_{\omega} (\vec{\mu}_{eg} \cdot \vec{e}_{k, \sigma})$
 $E_e = \hbar \omega_e$
 $E_g = \hbar \omega_g + \hbar \omega$

$b_e = c_e \cdot e^{i\omega_e t}$
 $b_g = c_g \cdot e^{i(\omega_g + \omega)t}$

• Ansatz: $b_e = e^{-\frac{1}{2}\gamma t} e^{-i(\omega_e + \Delta E_e)t}$
 $\Delta E_e = \frac{1}{2} \hbar \text{Im}(\gamma) \propto \omega$ PP $(\frac{1}{\omega_g - \omega})$
 ΔE_e se desplaza al interactuar con vacío
 $\gamma = \text{Re}(\gamma) \propto \delta(\omega_g - \omega)$
 γ es cte de relajación del nivel, $\frac{1}{\delta} \equiv$ tiempo de vida media, coef. A de Einstein

• Aproximación de Markoff → b + aleatorio, no coherencia
 $b_e(t)$ no tiene memoria $\int \sum_{k, \sigma} \rightarrow (\frac{1}{2\pi})^3 \int d^3k \sum_{\sigma, k}$

Continuo $\gamma = \frac{1}{2\pi \epsilon_0 \hbar c^3} \sum_{\vec{k}} |\vec{\mu}_{eg} \cdot \vec{e}_{k, \sigma}|^2 \omega_{k, \sigma}^3 \equiv A$ (Einstein) → difícil de ser rayo X

• si modificas vacío, cambias γ → interacción vacío 2/2
 auto campo 2/2
 Lorentziana $\equiv \text{TF}(e^{-k\tau})$
 centrada en $\omega_g + \Delta E_e$
 $\frac{1}{\tau} \equiv$ comp medible

$D_g(\omega) = \frac{\omega^2}{\pi^2 c^3}$ → función de distribución de modos del vacío

En cavidad: $D_c(\omega) = \frac{\frac{1}{2} \Delta \omega c}{\pi L^3} \cdot \frac{1}{(\omega - \omega_c)^2 + (\frac{1}{2} \Delta \omega c)^2}$; $Q = \frac{\omega c}{\Delta \omega c}$

$\frac{\gamma_F}{\gamma_C} = \frac{D_F}{D_C} \rightarrow \omega = \omega_c \propto \frac{1}{Q}$ → controla relajación
 $\omega - \omega_c \approx \omega \rightarrow \propto Q$

Desplazado

$\Delta E_e \rightarrow \infty \Rightarrow$ Renormaliza de la masa

- interacción e- consigo mismo

- m real \neq m bare
 $\frac{1}{m_{obs}} = \frac{1}{m_{bare}} + \frac{1}{m_{EM}} \rightarrow 1040 \text{ MHz Lamb}$

Lo corrig en estados S sólo

$H_{sc} \rightarrow \hat{\sigma}_z \hat{\mu}, \vec{E} \rightarrow \frac{\hbar \omega_0}{2} \hat{\sigma}_z - \vec{\mu} \cdot \vec{E} \xrightarrow{\text{RWA}} \begin{pmatrix} -\delta & \Omega \\ \Omega^* & \delta \end{pmatrix} \rightarrow$ Oscilador de Rabi $\begin{cases} E + A \text{ est.} \\ \neq \text{ em. esp.} \end{cases}$

PE → $P_i \rightarrow g = I(\cdot) \cdot \langle f | H_{int} | i \rangle \rightarrow \hat{H}_{int} \langle n \pm 1 | \hat{E} | n \rangle \rightarrow$ 3 subniveles, espontánea

NW → $H_{at}, \hat{\mu}, \vec{E}(t) \rightarrow b_e = e^{-\frac{1}{2}\gamma t}$ → Decaím. espont.; Markov (b(t) pura, aleatorio) → manipulable
 0 modos Corrig ΔE , renormaliza, m bare; Lamb 1057 MHz, virtuales

JCM → $\hat{\mu} \hat{E} \Rightarrow H_{Rabi} \rightarrow H_u = H_{sc}, H_{JCM} \rightarrow a_{\omega}!$ hay un modo del campo ω $|n\rangle \rightarrow |g, n, s\rangle$

ION → $\hbar \omega - \hbar^2 k^2 + \frac{1}{2} \omega_{ac} \hat{\sigma}_z + (\sigma_x + \sigma_y) \cdot (\vec{k} \cdot \vec{e})$ → resonancias, sidebands
 \rightarrow Estados vestidos → fb. osc. Rabi $\begin{cases} \text{comp.} \\ \text{u: plaj} \\ \text{u: virtual} \end{cases} \rightarrow$ esencial en $n=0$ → Rabi en vacío, de derecha a izquierda

→ Rydberg Paul

T. 4 - EL MODELO DE JAYNES - CUMMINGS

interacción Δ modo \hat{a} \leftrightarrow 1 átomo de 2 niveles (láser) con RWA

$\{|n\rangle\}$ $\{|e\rangle, |g\rangle\}$

$$\hat{H} = \hat{H}_0 + \hat{H}_{int} + \hat{H}_{ext} = \hbar\omega_a \left[|e\rangle\langle e| - |g\rangle\langle g| \right] + \hbar\omega \hat{a}^\dagger \hat{a} - \vec{\mu} \cdot \vec{E}$$

$$\hat{\mu} = \vec{\mu} (|e\rangle\langle g| + |g\rangle\langle e|) = \vec{\mu} (\hat{\sigma}_+ + \hat{\sigma}_-)$$

$\{\hat{\sigma}_z, \hat{\sigma}_+, \hat{\sigma}_-\}$ \rightarrow operadores de pseudoespín ; $[\hat{\sigma}_+, \hat{\sigma}_-] = \hat{\sigma}_z$

$$\vec{E} = i\vec{e} E (\hat{a} - \hat{a}^\dagger) , E = \sqrt{\frac{\hbar\omega}{2\epsilon_0 V}}$$

$$\hat{H}_{int} = \hbar \left[\frac{\omega_a}{2} \hat{\sigma}_z + \omega \hat{a}^\dagger \hat{a} - i \frac{\vec{\mu} \cdot \vec{e}}{\hbar} E (\hat{a} - \hat{a}^\dagger) (\hat{\sigma}_+ + \hat{\sigma}_-) \right]$$

T. perturbado $\frac{1}{\omega_a - \omega} \gg \frac{1}{\omega_a + \omega}$ (RWA) $V = e^{i\frac{\omega_a + \omega}{\hbar} t} \dots$

$$g \equiv \frac{\vec{\mu} \cdot \vec{e}}{\hbar} E$$

$$\hat{H}_{int} = \frac{\hbar}{2} \begin{pmatrix} -\delta & -2gn \\ -2gn & \delta \end{pmatrix} ; \hat{H}_{int} = \frac{\hbar}{2} \left[-\delta \hat{\sigma}_z + ig (\hat{\sigma}_+ \hat{a} - \hat{\sigma}_- \hat{a}^\dagger) \right]$$

$$\Omega_n = ig \sqrt{n+1}$$

ec. 1/1t
diagonalizar

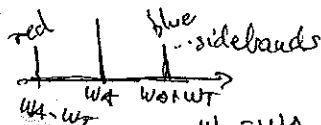
Ión atrapado interactuando con luz clásica

V armónico $\hat{H}_0 = p^2/2m + \frac{1}{2} m\omega^2 \hat{x}^2 + \frac{1}{2} \hbar\omega_a \hat{\sigma}_z \rightarrow$ ya no aprox. d-e.

$$\hat{H}_{int} = -\vec{\mu} \cdot \vec{E}_{clásico} = \hbar\omega \Omega_S (\hat{\sigma}_+ + \hat{\sigma}_-) \cos(\omega_L t - k_L \hat{x})$$

$$\hat{x} = \sqrt{\frac{\hbar}{2m\omega}} (\hat{b} + \hat{b}^\dagger)$$

$$\hat{p} = i\sqrt{\frac{\hbar}{2m\omega}} (\hat{b}^\dagger - \hat{b})$$



$\hat{H} = \dots \rightarrow$ Tres resonancias $\begin{cases} \omega_L = \omega_a \\ \omega_L = \omega_a + \omega_T \\ \omega_L = \omega_a - \omega_T \end{cases}$

$\hat{H} = \frac{1}{2} \hbar \epsilon_S (\hat{\sigma}_+ + \hat{\sigma}_-)$ \rightarrow modelo semi-clásico

$\hat{H} = \frac{1}{2} i \hbar \epsilon_S (\hat{b}^\dagger \hat{\sigma}_+ - \hat{b} \hat{\sigma}_-)$ \rightarrow JCM

$\hat{H} = \frac{1}{2} i \hbar \epsilon_S (\hat{b}^\dagger \hat{\sigma}_+^\dagger - \hat{b} \hat{\sigma}_-)$ \rightarrow al revés, quedan los contra-rotantes, 2º orden

$$\langle \hat{x}^2 \rangle = 0$$

$$a_0 = 2 \langle \hat{x}^2 \rangle = 2 \sqrt{\frac{\hbar}{2m\omega}}$$

$\xi = \frac{a_0}{\lambda} \ll 1 \rightarrow$ régimen de Lamb-Dicke

$$\xi = \frac{\lambda}{2\pi} \sqrt{\frac{E_{entr}}{E_{ur}}} \rightarrow$$

at/ems. $\gamma \rightarrow$ campos mixtos en vibrad

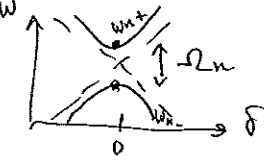
Diagonalizando $\hat{H}_n \rightarrow$ estados vestidos (dressed)

$$|+\rangle_n = \cos \theta_n |e, n\rangle - \sin \theta_n |g, n+1\rangle$$

$$|-\rangle_n = \sin \theta_n |e, n\rangle + \cos \theta_n |g, n+1\rangle$$

$$\tan 2\theta_n = \frac{|\Omega_n|}{\delta}$$

$\delta = 0, \theta = \pi/4$



$$|\psi\rangle = \sum_n \left[b_n(t) |+\rangle_n + b_n(t) |-\rangle_n \right]$$

$$= \sum_{n=0}^{\infty} E_n(t) |e, n\rangle + F_n(t) |g, n+1\rangle$$

$$p_e(t) = \sum_n p_n \langle e, n | \rho(t) | e, n \rangle$$

$$p_e(t) = \sum_n p_n \langle |E_n(t)|^2 \rangle$$

$$p_e(t) = \left[1 - \left(\frac{|\Omega_n|}{\delta} \right)^2 \sin^2 \left(\frac{\delta t}{2} \right) \right] |C_n|^2$$

$|E_n(t)|^2$ p_n

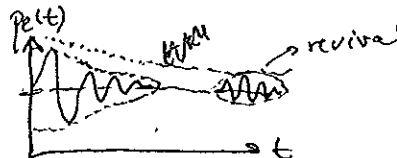
$N^0 \rightarrow p_n = \delta_{nk}$

$|d\rangle \rightarrow p_n = e^{-|k|^2} \frac{\gamma_n}{n!}$

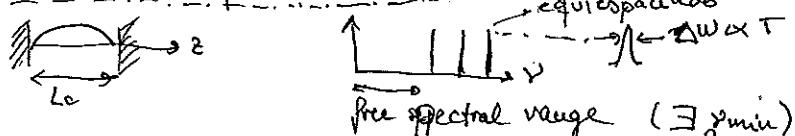
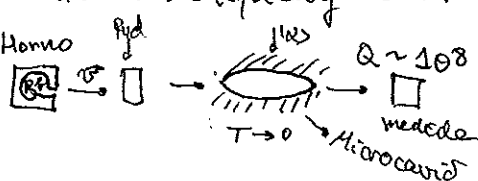
• Campo inicial en estado n=

$P_n = |c_n|^2 = \delta_{nk}$
 $P_e(t) = P_e(k, t) = 1 - \frac{|\Omega_k|}{|\Omega_k|} \sin^2\left(\frac{\Omega_k}{2} t\right) \rightarrow$ Oscilads de Rabi en semidásico
 $W = \frac{1}{2} \sum (\epsilon_{das})^2 = \pi \frac{h\nu}{V} \rightarrow |\epsilon_{das}| = \sqrt{\frac{2\pi h\nu}{V}} \rightarrow \Omega_{sc} = \frac{\mu}{h} \epsilon_{das} \leftarrow \Omega_n = i \sqrt{\frac{2\omega_{n,1}(n+1)}{8 h V}}$
 $\Omega_{sc} \approx \Omega_n$ con $n = n+1 \rightarrow \leq g_{av} = n$ alto
 lo + dttto en $n=0 \rightarrow \Omega_{sc} = 0 \leftarrow \Omega_0 = i \sqrt{\frac{2\omega_{0,1}}{8 h V}} \rightarrow$ difer e fundamental
 ...oss mods, interfieren \rightarrow provocan decaid, em. espontánea

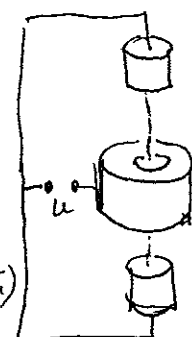
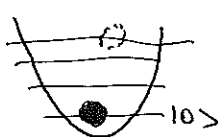
• Campo inicial en estado coherente

$\delta=0 \rightarrow P_e(k, t) = \cos^2\left(\frac{\Omega_k}{2} t\right)$
 $P_e(k, t) \approx \frac{1}{2} (1 + \cos(kz)) e^{-\frac{\gamma}{2} t} \rightarrow$ Oscilads de Rabi amortiguada
 $\sum_n P_n P_e(k, t)$

 No por disipación sino por interferencia n modos, con γ_n cada uno
 \rightarrow interfieren destructivas
 blapso de Cummings
 revival \rightarrow muestra de que el campo está cuantizado
 $\int dx \cos(kx) \rightarrow$ no saldrá revival interacc. a 2 átomos
 $\gamma_n \propto \sqrt{n} \gamma$ si fuese $n \gamma t$ revival se repetiría perfecto
 \rightarrow al final ruido

• Observas experimentales


 equiespaciado $\Delta \omega \propto T$
 Free spectral range ($\exists \gamma_{min}, \gamma_{max}$)
 \rightarrow sólo interacciona con os discretos (numerable)
 \rightarrow 1 solo modo $\rightarrow L_c$ pequeña
 \rightarrow átomos de Rydberg \rightarrow MWave, $Z \sim ms \rightarrow$ acoplado fuente con nivel que queremos
 Horno \rightarrow  \rightarrow $Q \sim 10^8$
 $Z_{car} \sim 220 \mu s$, se escapan
 T \rightarrow 0 \rightarrow Microcavity

▲ Trampa de Paul


 micromovs a ω_{RF} (rápido y de poca amplitud) \rightarrow coger
 movs secular (arrabuco simple)
 - enfriar trampa / estado fundamental
 - excitamos controladamente, borde $n=5$
 - estado inicial coherente \rightarrow cuando preparado, se enciende el láser (interacción)
 $U = U_0 + V \cos(\omega_{RF} t)$
 $r_0 \approx \sqrt{2} z_0 \approx 100 \mu m$
 $V \sim 500 - 500 V$
 $U_0 = 0 - 50 V$
 $\frac{\omega_{RF}}{2\pi} \approx 100 KHz - 100 MHz$


T.5 - FOTODETECCIÓN Y COHERENCIA CUÁNTICAS

Efecto fotoeléctrico:

1887 Hertz, ondas EM → dispersas en sup. metálicas
 1905 Einstein explica con fotones (cuantos de radiación)

- 1) Umbral
- 2) Instantáneo, $P \propto I$
- 3) $T_{\text{fotoe.}} \propto \frac{1}{\nu}$ indep. $I_{\text{um.}}$
- 4) $N(e^-) \propto I(A) \propto I_{\text{luminosa}}$

↳ \mathcal{E} explica semiclásica

Pliegado libre

I baja, t cortos, T° perturbada, $H_{\text{int}} = -\vec{\mu} \cdot \vec{E}$
 $H_{\text{ome}} = U H_{\text{int}} U^{-1}$
 $\vec{E}(t) = \frac{1}{2} \vec{e} E(t) e^{-i\omega t} + \frac{1}{2} \vec{e}^* E^*(t) e^{i\omega t}$, $\frac{\partial E}{\partial t} \ll 1 \rightarrow$ cuasimonocromática

$$|\psi(t)\rangle \approx |W_0\rangle - \frac{i}{\hbar} \int dt' H_D(t') |W_0\rangle$$

$P_{W_0 \rightarrow W} = |\langle W | \psi(t) \rangle|^2$; $P_{W_0 \rightarrow \text{continuo}} = \sum_W P_{W_0 \rightarrow W} \cdot n(W) \rightarrow \int_{W_0 \rightarrow W} dN(W) = \int_{W_0 \rightarrow W} f(W) \cdot dW$
 ... densidad espectral de estados

$$\langle W | H_D(t') | W_0 \rangle = \frac{1}{2} E(t') e^{i(\frac{W-W_0}{\hbar} - \omega)t} \vec{\mu}_{W W_0} \cdot \vec{e} + c.c.$$

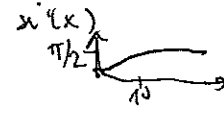
$$|\langle W | \psi_0(t) \rangle|^2 = P_{W_0 \rightarrow \text{cont}} = \frac{1}{(2\hbar)^2} \int dt_1 \int dt_2 E(t_1) E^*(t_2) e^{-i\omega(t_1-t_2)} g(t_1-t_2)$$

$g(z) = \int dW f(W) \cdot |\vec{\mu}_{W W_0} \cdot \vec{e}|^2 e^{i\frac{W-W_0}{\hbar} z} \rightarrow$ T.F. picada (p wave) $\frac{1}{\hbar A}$ $\frac{1}{\hbar A}$
 $z \sim \frac{1}{f} \sim 1 \text{ fs}$

$$P_{W_0 \rightarrow \text{continuo}} \approx \frac{|E(0)|^2}{(2\hbar)^2} \int dW f(W) \cdot |\vec{\mu}_{W W_0} \cdot \vec{e}|^2 \cdot f(W, t)$$

$$f(W, t) = \frac{\sin[\frac{1}{2}(\delta - W/\hbar)t]}{\frac{1}{2}(\delta - W/\hbar)}$$

t corto respecto a ν intensidad \leftrightarrow
 largo / sea tipo δ Dirac
 $\delta \sim \frac{1}{W} \sim 6$



$$P(t) \approx \frac{\pi}{2\hbar} |\vec{\mu}_{W W_0} \cdot \vec{e}|^2 \cdot f(W^*) \cdot |E(0)|^2 \cdot t$$

$$W^* = \hbar(W - W_0)$$

- ↳ linealmente (const.)
- ↳ se produce solo W^* (resonante radiación, salto energético)
- ↳ $= T_e$, $f(W)$, no $f(I)$
- ↳ W umbral \rightarrow gap $\rightarrow f(W < 0) = 0$

⇒ Explica semiclásica sin cuantizar campo

$$dP_{W_0 \rightarrow \text{cont}} = p(\vec{r}, t) \cdot dt = \mathcal{S} \cdot I(\vec{r}, t) \cdot dt ; I = |E|^2 ; \mathcal{S} = \frac{\pi}{2\hbar} |\vec{\mu}_{W W_0} \cdot \vec{e}|^2 \cdot f(W^*)$$

\mathcal{S} = eficaz
 ... detector, $\delta(W)$

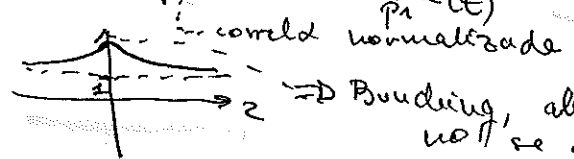
$\frac{dP}{dt} = \mathcal{S} \cdot I \cdot dt$; $p_1(\vec{r}_1, t_1) = \mathcal{S} I(\vec{r}_1, t_1) \equiv$ prob. dif. de fotodetección simple
 $\frac{d^2 P}{dt^2} = \mathcal{S}^2 I(\vec{r}_1, t_1) \cdot I(\vec{r}_2, t_2) (dt)^2$ (casos independientes)

$\tilde{p}_1 = \mathcal{S} \langle I \rangle$; $\tilde{p}_2 dt^2 = \mathcal{S}^2 \langle I(t) I(t+\tau) \rangle dt^2$ → índice si luz cuántica o no
 Campos estacionarios $\Rightarrow \langle I(t_1) \rangle = \langle I(t_2) \rangle$

Coherencia temporal de 2º orden

→ Arracimado fotoeléctrico (bunching) $\Rightarrow g^{(2)}(\tau) = \frac{\tilde{p}_2(t, t+\tau)}{\tilde{p}_1^2(t)} = \frac{\langle I(t) \cdot I(t+\tau) \rangle}{\langle I(t) \rangle^2}$

- $g^{(2)}(0) \geq 1$
- $g^{(2)}(0) \gg g^{(2)}(\tau)$
- $g^{(2)}(\tau \rightarrow \infty) \rightarrow 1$



⇒ Bunching, aleatoriedad en detección, no se debe a naturaleza luz

Fórmula de Mandel $\leftarrow \int_{t-T}^{t+T} dt$
 $P_m(t, T) = \frac{[STI(t, T)]^m}{m!} e^{-STI(t, T)}$; $P_m(t) \ll p_m \rightarrow$ forma del histograma $\rightarrow 10$

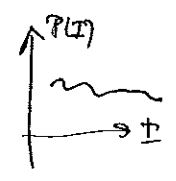
o Caso coherente $\rightarrow P_m(t) = \frac{(STI_0)^m}{m!} \cdot e^{-STI_0}$ (Poisson) $\bar{m} = STI_0$
 $\sum_m P_m(t) = 1$
 $\sum_m m P_m(t) = \bar{m}$; $\sum m^2 P_m = \bar{m}^2$
 $\therefore V(m) > \bar{m} \rightarrow$ distribución superpoissoniana
 $\Delta m = \sqrt{V(m)}$; $V(m) = \bar{m}$

si $\bar{m} \ll 1 \rightarrow x = \bar{m}$
 $P_0 \approx 1 - x$, $P_1 = x$
 si $\bar{m} \gg 1$
 $\Delta m \approx \sqrt{x}$

o Caso $T \gg \tau_c$, T largo
 $\Delta \omega \gg \Gamma_0$ (media) \rightarrow coherente



o Caso $T \ll \tau_c$
 $I(t, T) = I(t) \rightarrow P_m(t) = \int_0^\infty dI \frac{(STI)^m}{m!} \cdot e^{-STI} P(I)$
 \times Luz térmica $P(I) = \frac{1}{I} e^{-1/I}$ $\Rightarrow P_m(t) = \frac{x^m}{(1+x)^{m+1}}$; $x = ST \langle I \rangle$
 BOSE-EINSTEIN



o Caso general
 $P_m(I) = \langle p_m(t, T) \rangle$
 $V(m) = \bar{m} + (ST)^2 V(I) \geq \bar{m}$
 Contribución corpuscular \rightarrow luz emite
 Cont. oscilatoria \rightarrow Lo propio detector, atenuación detección
 BOSE-EINSTEIN
 poss \rightarrow superpoiss.
 \rightarrow sub con luz clásica

$x T \ll \tau_c$
 $g^{(2)}(0) = \frac{\bar{m}^2 - \bar{m}}{\bar{m}^2} \geq 1$

Coherencia y fotodetección cuánticas

$\vec{E} = i \sum_j \vec{E}_j [c_j a_j e^{i(\vec{k}_j \cdot \vec{r} - \omega_j t)}] + c.c.$

Probabilidad transición $T_{if} = \frac{eT}{\hbar^2} |\langle f | H_{int} | i \rangle|^2 = \frac{eT}{\hbar^2} |\langle n-1, d | \vec{p} \cdot \vec{E} | n, d \rangle|^2$
 $\langle n-1 | E^+ | n \rangle \langle n | E^- | n-1 \rangle = \langle n | E^- | n-1 \rangle \langle n-1 | E^+ | n \rangle = \langle \psi | E^- E^+ | \psi \rangle$
 $E^- E^+ \propto a^\dagger a \approx N \rightarrow$ corresponde con T, N -orden $\langle \begin{smallmatrix} \nearrow \\ E \\ \searrow \end{smallmatrix} \rangle$

$g^{(2)}(\tau) = \frac{\langle E^{(-)}(t) E^{(-)}(t+\tau) E^{(+)}(t) E^{(+)}(t+\tau) \rangle}{\langle E^{(-)}(t) E^{(+)}(t) \rangle^2}$

o Monomodo $g^{(2)}(\tau) = \frac{\langle a^\dagger a^\dagger a a \rangle}{\langle a^\dagger a \rangle^2} = \frac{\langle N^2 \rangle - \langle N \rangle^2}{\langle N \rangle^2} \rightarrow$ NO depende de τ !!
 $g^{(2)}|_{|m\rangle} \leq 1 \rightarrow$ signatura de número cuántico
 $g^{(2)}|_{|a\rangle} = 1 \rightarrow$ grado coherente, se une a t° clásica
 $g^{(2)} > 1$ Luz clásica (o cuántico no lo muestra en g)
 $V(m) > \bar{m}$, SP, bunching
 $g^{(2)} = 1$ Coherente, $P, V(m) = \bar{m}$
 $g^{(2)} < 1$ Luz cuántica (luz clásica)
 $V(m) < \bar{m}$, SBP, antibunching

$P_m(t) |_{|k\rangle} = \binom{k}{m} \mu^m (1-\mu)^{k-m}$

$P_1 = \mu$, $P_0 = 1-\mu \rightarrow$ eficiencia detector! ($k=1$)
 $|\psi\rangle = \sum_k |k\rangle \rightarrow P_m(t) = \sum_{k=m}^\infty \binom{k}{m} \mu^m (1-\mu)^{k-m} \cdot P_k'' |_{k=1}$
 \rightarrow ideal $\mu=1 \rightarrow P_m = p_m$
 $\neq 1 \rightarrow P_m \neq p_m$

$P_m(t) |_{|a\rangle} =$ Poiss ($\mu < n$) \rightarrow útil xa medir eficiencia
 si copia es calada

$g^{(2)} - 1 = \frac{Var(m) - \bar{m}^2}{\bar{m}^2} = \frac{Var(n) - \langle n \rangle}{\langle n \rangle^2}$ (est. coherente)

$\sum P_m = 1$
 $\sum m P_m = \bar{m}$
 $\sum m^2 P_m = \mu^2 \langle n^2 \rangle + \mu(1-\mu) \langle n \rangle = \bar{m}^2$
 $Var(m) = \mu^2 Var(n) + \mu(1-\mu) \langle n \rangle$

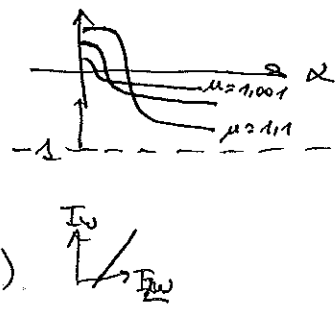
$(n^2)_{ij} = \delta_{ij} + \chi_{ij}^{(1)}$
 $H_{int} = - \int d^3r \vec{p} \cdot \vec{E} = \dots = \hbar \omega \hat{a}^\dagger + \hbar (\mu \hat{a}^2 + \nu \hat{a}^{\dagger 2} + g \hat{a}^{\dagger 2} e^{-2i\omega t} + g^* \hat{a}^2 e^{2i\omega t})$; $g \equiv \frac{3\chi^{(2)} \omega^2}{4\epsilon_0}$
 $H_0 = \hbar \omega (\hat{a}^\dagger + \hat{a})$ → procesos a 2 fotones, squeezing; crean-destroyen a pares
 $Z = +2\hat{a}^\dagger \hat{a} = +2i\chi^{(2)} \omega E_p^{*2}$

$|\alpha; z\rangle = S(z)|\alpha\rangle = S(z)D(\alpha)|0\rangle$ Estado de Yuen coherente a 2 fotones
 $|\alpha; z\rangle = \hat{D}(\alpha)S(z)|0\rangle$ Estado de Coes o comprimido ideal
 $\hat{b} = S(z)\hat{a}S^\dagger$, $\hat{b}^\dagger = S^\dagger\hat{a}^\dagger S$
 $= \mu\hat{a}^\dagger + \nu\hat{a}$, $= \mu\hat{a}^\dagger + \nu\hat{a}$
 $S = \exp[-\frac{1}{2}(e^{i\theta}\hat{b}^2 + e^{-i\theta}\hat{b}^{\dagger 2})]$ ← $\hat{D}\hat{a}\hat{D}^\dagger = \hat{a} - \alpha$; $bS = Sa$
 $\hat{b}|\beta; z\rangle = \alpha|\beta\rangle$; $\hat{b}|\alpha; z\rangle = (\mu\alpha - \nu\alpha^*)|\alpha; z\rangle$

$DS = S D(\alpha^\pm)$; $SD = D(\alpha^\pm)S$; $\alpha^\pm = \mu\alpha \pm \nu\alpha^*$ → $|\alpha; z\rangle = |\alpha^\pm; z\rangle$
 Estados coherentes (compr, y.c) → bases supercompletas de \mathbb{R}
 Yuen → $c_n = \frac{1}{\sqrt{n!}} \left(\frac{\nu}{2\mu}\right)^{n/2} H_n\left(\frac{\alpha}{\sqrt{2\mu\nu}}\right)$
 $[\hat{b}, \hat{b}^\dagger] = 1$
 $\hat{X} = \frac{1}{2}(\mu - \nu)(\hat{b} + \hat{b}^\dagger)$; $\hat{Y} = \frac{1}{2i}(\mu + \nu)(\hat{b} - \hat{b}^\dagger)$; $\hat{a}\hat{a}^\dagger = |\mu^2 + \nu^2|$

α real, $\mu, \nu \in \mathbb{R}$ → $\langle \hat{X} \rangle_{z; \alpha} = \alpha(\mu - \nu)$ $\Delta \hat{X}^2 = \frac{\mu - \nu}{2}$
 $\langle \hat{Y} \rangle = 0$ $\Delta \hat{Y}^2 = \frac{\mu + \nu}{2}$
 $\langle \hat{N} \rangle = \alpha^2(\mu - \nu)^2 + \nu^2$ $\Delta \hat{N}^2 = \sqrt{\alpha^2(\mu - \nu)^4 + 2\mu^2\nu^2}$
 $\neq 0$ or $\alpha = 0$ → no vacío!

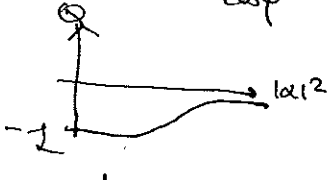
Parámetro Q de Mandel:
 $Q = \frac{\Delta \hat{N}^2 - \langle \hat{N} \rangle}{\langle \hat{N} \rangle}$ = $\begin{cases} > 0 & \text{supp.} \\ 0 & \text{coher} \\ < 0 & \text{subP} \end{cases}$



comprim: sub/sup (α)
 $\lim_{\alpha \rightarrow \infty} Q = -1$
 $\mu \rightarrow \infty$
 ↓ antibunching perfecto

estados no fase | estado fase
 no sales fase | no sales ampl.
 → PDC en cavidad
 cerca de I_{min} → max compresión (90%)

Estados gato
 $|\psi\rangle = W [|\alpha\rangle + e^{i\varphi} |-\alpha\rangle]$ $\begin{cases} \varphi = 0 & \text{gato par} \\ \varphi = \pi & \text{" impar} \\ \varphi = \pi/2 & \text{Yurke-Stoller} \end{cases}$; $W = \frac{\Delta}{\sqrt{2(1 - e^{-2|\alpha|^2} \cos \varphi)}}$
 $\langle \hat{N} \rangle = [|\alpha|^2 \coth |\alpha|^2]$
 $\text{Var } \hat{N} = |\alpha|^4 (1 - \coth^2 |\alpha|^2) + |\alpha|^2 \coth |\alpha|^2$ → $Q < 0$
 $p_n = \begin{cases} 0, n \text{ par} \\ \frac{4W^2 e^{-|\alpha|^2}}{n!} |\alpha|^{2n}, n \text{ impar} \end{cases}$ → Solo n impar fotones



tiene squeezing, poco robustos ante decoherencia (scatt, abs, ruido), + fácil $M-S = W[|\alpha\rangle + i|-\alpha\rangle]$
 Medio Kerr $\chi^{(3)}$ $n = n_0 + n_2 I$, $\hat{H} = \hbar \chi^{(3)} (\hat{a}^\dagger \hat{a})^2$
 $|\psi(\frac{\pi}{2\chi})\rangle \sim |YS\rangle$ → fibra óptica con longitud OK.
 - ordenador cuántico, puertas lógicas
 - 4-5 qubits... < 30-20

